

# Наземная $\gamma$ -спектрометрия радиоактивного загрязнения местности

Е. М. АРТЕМОВ, Н. Д. БАЛЯСНЫЙ, Р. М. КОГАН, А. Н. ПЕГОЕВ,  
И. М. НАЗАРОВ, Ш. Д. ФРИДМАН

УДК 539.12.08

Вблизи земной поверхности спектрально-угловая функция  $\gamma$ -поля, образованного радиоактивными загрязнениями местности, существенно зависит от распределения  $\gamma$ -излучателей в почвах и характера микрорельефа. Ниже оценено влияние этих факторов на точность определения запасов осколочных продуктов при наземной  $\gamma$ -спектральной съемке и некоторых неконтролируемых условий измерений на точность такой съемки, а также коротко описан опыт полевых измерений глобального загрязнения местности  $\text{Cs}^{137}$ .

Все расчетные оценки выполнены для интенсивности нерассеянных  $\gamma$ -квантов, поскольку при малых высотах детектора над почвой вклад нерассеянных  $\gamma$ -квантов в область фотопиков, по которым ведутся определения изотопов, составляет 90—95% [1].

## Влияние распределения изотопов в почве на регистрируемую интенсивность $\gamma$ -излучения

Рассмотрим наиболее часто встречающуюся схему загрязнения местности, когда весовая концентрация источников  $\gamma$ -излучения убывает с глубиной  $z$  по экспоненциальному закону  $q(z) = q_0 e^{-\beta z}$ . Коэффициент  $\beta$  подвержен пространственным и временным колебаниям, зависящим от типа почв и подстилающих горных пород, уровня атмосферных осадков и т. д., поэтому даже в одном районе интервал колебаний  $\beta$  оказывается достаточно широким. Например, для  $\text{Cs}^{137}$  в настоящее время  $0,5 \leq \beta \leq 3,0 \text{ см}^2/\text{г}$ , для свежих выпадений  $\beta = 15 - 30 \text{ см}^2/\text{г}$  [1].

Искомый запас радиоактивного изотопа

$$\sigma = q_0 \int_0^\infty e^{-\beta z} dz = q_0 / \beta \text{ кюри/км}^2.$$

Интенсивность нерассеянного  $\gamma$ -излучения от источника с энергией  $E_0$  при заданной высоте съемки  $h$  и телесном угле регистрации  $\gamma$ -квантов  $\Omega = 2\pi(1 - \cos \theta)$  является однозначной функцией запаса  $\sigma$  и параметра  $\beta$ . Связь между этими величинами выражается соотношением

$$J_0(E_0, h, \bar{\beta}, \theta) = \frac{\sigma}{2} \left\{ \varepsilon_1(h) - e^{\bar{\beta}h} \varepsilon_1[h(1 + \bar{\beta})] - \right.$$

$$- \varepsilon_1 \left( \frac{h}{\cos \theta} \right) + e^{\bar{\beta}h} \varepsilon_1 \left[ h \left( \frac{1}{\cos \theta} + \bar{\beta} \right) \right] \right\}, \quad (1)$$

которое для изотропного детектора над полу-пространством ( $\theta = \frac{\pi}{2}$ ) переходит в

$$J_0(E_0, h, \bar{\beta}) = \frac{\sigma}{2} \{ \varepsilon_1(h) - e^{\bar{\beta}h} \varepsilon_1[h(1 + \bar{\beta})] \}. \quad (2)$$

Здесь  $\varepsilon_1(x)$  — интегрально-показательная функция;  $\bar{\beta} = \frac{\beta}{\mu_v}$ ;  $\mu_v$ ,  $\mu_p$  — массовые коэффициенты ослабления  $\gamma$ -излучения с энергией  $E_0$  воздухом и почвой соответственно; угол  $\theta$  отсчитывается от вертикали;  $J_0(E_0, h, \bar{\beta})$  — интенсивность нерассеянного  $\gamma$ -излучения при данных  $E_0, h, \bar{\beta}$ ;  $J_0(E_0, h, \bar{\beta}, \theta)$  — величина, аналогичная ей, но для направленного детектора с углом обзора  $2\theta$ .

Колебания коэффициента  $\beta$  вызывают изменения регистрируемой интенсивности  $\gamma$ -излучения при постоянном запасе  $\sigma$ . Оценим характер изменения  $J_0(E_0, h, \bar{\beta})$  и  $J_0(E_0, h, \bar{\beta}, \theta)$  в зависимости от изменения величины  $\bar{\beta}$ , полагая, что во всех случаях запас активного вещества  $\sigma$  остается неизменным и равным 1 квант/см<sup>2</sup>·сек. Тогда уменьшение  $J_0(E_0, h, \bar{\beta})$  и  $J_0(E_0, h, \bar{\beta}, \theta)$  за счет «заглубления» источника будет иметь вид

$$\xi_1(E_0, h, \bar{\beta}) = \frac{J_0(E_0, h, \bar{\beta})}{J_0(E_0, h)} = \\ = 1 - e^{\bar{\beta}h} \frac{\varepsilon_1[h(1 + \bar{\beta})]}{\varepsilon_1(h)}; \quad (3)$$

$$\xi_2(E_0, h, \bar{\beta}, \theta) = \frac{J_0(E_0, h, \bar{\beta}, \theta)}{J_0(E_0, h, \theta)} = \\ = 1 - e^{\bar{\beta}h} \frac{\varepsilon_1[h(1 + \bar{\beta})] - \varepsilon_1 \left[ h \left( \frac{1}{\cos \theta} + \bar{\beta} \right) \right]}{\varepsilon_1(h) - \varepsilon_1(\bar{h}/\cos \theta)}, \quad (4)$$

где  $J_0(E_0, h)$  и  $J_0(E_0, h, \theta)$  — те же величины, что и выше, но для пленочного источника (при  $\beta \rightarrow \infty$ ).

Результаты вычислений значения  $\xi_1(E_0, h, \bar{\beta})$  по соотношению (3) для различных  $\bar{\beta}$  и  $h$  при  $\sigma = 1$  квант/см<sup>2</sup>·сек приведены в табл. 1. В табл. 2 содержатся итоги аналогичного рас-

Значения  $\xi_1(E_0, \bar{h}, \bar{\beta})$  для различных Таблица 1  
 $\bar{h}$ ,  $\bar{\beta}$  и  $E_0 = 0,662$  Мэв (изотропный детектор)

$\bar{h}$	$\bar{\beta}$							
	1	2	5	10	20	50	100	$\infty$
0,01	0,16	0,25	0,40	0,53	0,64	0,77	0,84	1
0,02	0,19	0,28	0,45	0,58	0,70	0,82	0,89	1
0,05	0,23	0,35	0,53	0,67	0,77	0,89	0,95	1
0,10	0,26	0,40	0,60	0,72	0,82	0,91	0,96	1
0,50	0,39	0,55	0,76	0,87	0,91	0,98	0,99	1

Значения  $\xi_2(E_0, \bar{h}, \bar{\beta}, \theta)$  для Таблица 2  
различных  $\bar{h}$ ,  $\bar{\beta}$ ,  $\theta$  и  $E_0 = 0,662$  Мэв  
(направленный детектор)

$\bar{h}$	$\theta = 60^\circ$				$\theta = 70^\circ$				$\theta = 80^\circ$			
	$\bar{\beta}$				$\bar{\beta}$				$\bar{\beta}$			
	10	20	50	$\infty$	10	20	50	$\infty$	10	20	50	$\infty$
0,01	0,88	0,94	0,97	1	0,87	0,92	0,96	1	0,84	0,91	0,93	1
0,50	0,88	0,94	0,99	1	0,87	0,92	0,96	1	0,82	0,93	0,97	1

чата для направленного детектора с углом обзора  $2\theta$  по соотношению (4).

Из данных табл. 1 и 2 вытекает следующее.

1. При заданном значении коэффициента  $\beta$  интенсивность нерассеянных  $\gamma$ -квантов, регистрируемых направленным детектором, ослабляется (по сравнению с интенсивностью от пленочного источника) значительно меньше, чем в случае регистрации  $\gamma$ -излучения изотропным детектором. Например, для  $\theta = 60^\circ$ ,  $\bar{h} = 0,01$ ,  $\bar{\beta} = 10$  (что для квантов  $Cs^{137}$  соответствует  $\beta = 0,8$  см<sup>2</sup>/г и  $h = 1$  м)  $\xi_2 = 0,88$ , т. е. происходит ослабление в 1,13 раза [ $J_0(E_0, \bar{h}, \theta)/J_0(E_0, \bar{h}, \bar{\beta}, \theta) = 1/\xi_2$ ]; в то же время для изотропного детектора  $\xi_1 = 0,53$  и наблюдается ослабление в 1,88 раза, что превышает ослабление для коллимированного детектора в 1,65 раза.

2. С увеличением высоты изотропного детектора над поверхностью почвы ослабевает влияние заглубления на интенсивность нерассеянных  $\gamma$ -квантов. Например, при  $\bar{\beta} = 10$ ,  $E_0 = 0,662$  Мэв и  $\bar{h} = 0,5$   $\xi_1 = 0,87$ , т. е. происходит ослабление в 1,13 раза (по сравнению с пленочным источником); при  $\bar{h} = 0,01$   $\xi_1 = 0,40$ , т. е. осуществляется ослабление в 2,5

раза. Для направленного детектора влияние  $\beta$  практически не зависит от изменения высоты съемки.

При полевых  $\gamma$ -спектральных измерениях запаса  $\sigma$  осколочных продуктов значение  $\bar{\beta}$  обычно заранее неизвестно, и его либо полагают равным бесконечности (изотоп распределен в виде бесконечной тонкой пленки), либо (наиболее частый случай) предполагают, что вся съемочная площадь может быть охарактеризована значением коэффициента  $\beta$ , измеренным на одном или немногих участках. Очевидно, что определенные во втором случае значения концентраций будут содержать ошибки, обусловленные тем, что в точках наблюдений значения  $\beta \neq \beta_0$ . Результаты расчета величины таких ошибок для запаса  $Cs^{137}$  в предположении, что в точках наблюдения фактические значения отклоняются от принятых  $\beta_0$  на 50%, т. е.  $\delta\beta = 50\%$ , представлены в табл. 3. Расчет выполнен для случая регистрации интенсивности  $\gamma$ -излучения  $Cs^{137}$  изотропными ( $\theta = 90^\circ$ ) и направленными детекторами ( $\theta = 70^\circ$ ). Данные об ошибках получены для  $\bar{h} = 0,01$  ( $h = 1$  м для  $E_0 = 0,662$  Мэв) из значений функции

$$\alpha(\theta) = \frac{1}{J_0(E_0, \bar{\beta}, \bar{h}, 0)} \cdot \frac{\partial \bar{J}_0(E_0, \bar{\beta}, \bar{h}, \theta)}{\partial \bar{\beta}} \Delta \bar{\beta}, \quad (5)$$

где

$$\begin{aligned} \frac{\partial \bar{J}_0(E_0, \bar{\beta}, \bar{h}, \theta)}{\partial \bar{\beta}} &= \bar{h} e^{\bar{\beta} \bar{h}} \left[ \varepsilon_1 \left( \frac{\bar{h}}{\cos \theta} + \bar{\beta} \bar{h} \right) - \right. \\ &\quad \left. - \varepsilon_1(\bar{h} + \bar{\beta} \bar{h}) \right] + \left[ \frac{e^{-\bar{h}}}{1+\bar{\beta}} - \frac{e^{-\bar{h}/\cos \theta}}{\bar{\beta}+1/\cos \theta} \right]; \\ \Delta \bar{\beta} &= \bar{\beta} \delta \bar{\beta}; \end{aligned}$$

$\bar{J}_0(E_0, \bar{\beta}, \bar{h}, \theta) = \frac{J_0(E_0, \bar{\beta}, \bar{h}, \theta)}{\sigma}$  — интенсивность нерассеянного  $\gamma$ -излучения источника, распре-

Значения ошибок определения Таблица 3  
запаса  $Cs^{137}$ , обусловленных колебаниями  
коэффициента  $\beta = \beta_0 \pm 0,5\beta_0$

$\beta, \text{ см}^2/\text{г}$	$\bar{\beta}$	$\alpha, \%$		$\alpha(\theta = 90^\circ)/\alpha(\theta = 70^\circ)$
		$\theta = 90^\circ$	$\theta = 70^\circ$	
0,5	6,4	17,6	9,2	1,9
1,0	13	15,0	5,8	2,6
5,0	64	7,4	1,4	5,3
10,0	128	4,5	0,6	7,5

деленного по экспоненте;  $\sigma = \frac{q_0}{\beta} = 1$ . Графики функций  $\frac{\partial \bar{J}_0(E_0, \bar{h}, \bar{\beta}, \theta)/\partial \bar{\beta}}{\bar{J}_0(E_0, \bar{h}, \bar{\beta}, \theta)}$  для  $\gamma$ -квантов  $\text{Cs}^{137}$  при различных значениях  $\theta$  приведены на рис. 1.

Из табл. 3 следует, что применение направленных детекторов позволяет снизить ошибки в определении запаса  $\text{Cs}^{137}$  в грунтах в два—семь раз по сравнению с измерениями при помощи изотропных детекторов. Такой существенный эффект обусловлен тем, что заглубление  $\text{Cs}^{137}$  наиболее сильно влияет на интенсивность  $\gamma$ -излучения, приходящего под углами, близкими к  $90^\circ$ .

Если при полевых измерениях распределение источника принимают пленочным (а оно на самом деле не является таковым), то допускаемые при этом погрешности нахождения запаса  $\sigma$  целиком определяются данными табл. 1 и 2. Здесь, как и в предыдущем случае, использование направленных детекторов дает существенный выигрыш в точности измерений по сравнению с применением изотропных детекторов.

### Влияние микрорельефа

Выполненные выше расчеты относятся к идеально плоской земной поверхности.

При свежих выпадениях радиоактивные продукты располагаются на местности в виде тонкой пленки. Неровности рельефа местности (микрорельеф) существенно снижают интенсивность  $\gamma$ -излучения выпавших продуктов. Наиболее сильно микрорельеф влияет на интенсивность нерассеянных  $\gamma$ -квантов удаленных участков местности. Участки непосредственно под детектором микрорельефом практически не экранируются. Отсюда также следует целесообразность исключения влияния удаленных участков местности путем измерения  $\gamma$ -излучения направленными детекторами.

Для численных оценок влияния микрорельефа авторами настоящей работы использованы результаты работы [2], в которой показано, что влияние микрорельефа по своему действию на  $\gamma$ -излучение эквивалентно перекрытию плоского источника слоем неактивного поглотителя толщиной  $l$ . Эта толщина зависит от характера микрорельефа и колеблется для равнинных территорий (дно высохшего озера, песчаная пустыня, перепаханные участки) от долей сантиметра до нескольких сантиметров почв. Такая модель является приближенной; при малых углах обзора детектора она дает завы-

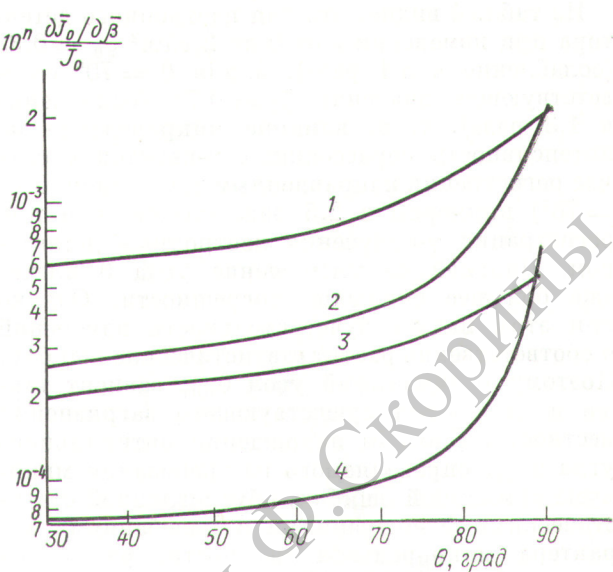


Рис. 1. Графики функций  $\frac{\partial \bar{J}_0(E_0, \bar{h}, \bar{\beta}, \theta)/\partial \bar{\beta}}{\bar{J}_0(E_0, \bar{h}, \bar{\beta}, \theta)}$  для различных значений  $\bar{\beta}$  и  $n$  ( $\bar{h}=0,01$ ,  $E_0=0,662$  Мэв):

1— $n=1$ ,  $\bar{\beta}=1$  см<sup>2</sup>/с,  $\bar{\beta}=12,8$ ; 2— $n=0$ ,  $\bar{\beta}=0,5$  см<sup>2</sup>/с,  $\bar{\beta}=64$ ; 3— $n=2$ ,  $\bar{\beta}=0,5$  см<sup>2</sup>/с,  $\bar{\beta}=6,4$ ; 4— $n=0$ ,  $\bar{\beta}=10$  см<sup>2</sup>/с,  $\bar{\beta}=128$ .

шенные оценки влияния микрорельефа на интенсивность  $\gamma$ -излучения.

В табл. 4 приведены результаты расчета по соотношению  $J(E_0, h, \theta, l) = \frac{\sigma}{2} [\varepsilon_1 (\mu_b h + \mu_n l) - \varepsilon_1 \left( \frac{\mu_b h + \mu_n l}{\cos \theta} \right)]$  значений функции  $\xi_0 = \frac{J_0(E_0, h, \theta, l)}{J_0(E_0, h, \theta)}$ , характеризующих ослабление  $\gamma$ -излучения почв микрорельефом по сравнению с излучением пленочного источника ( $l = 0$ ). Расчет выполнен для  $E_0 = 0,4 \div 0,8$  Мэв,  $h = 1$  м,  $\theta = 60 \div 90^\circ$ .

Значения функции  $\xi_0 = J_0(E_0, h, l, \theta)/J_0(E_0, h, \theta)$  для изотропного и направленного детекторов Таблица 4

$\theta$ , град	$l$ , см				
	0	1	2	3	4
90	1,0	0,48	0,32	0,26	0,21
80	1,0	0,80	0,68	0,56	0,47
70	1,0	0,88	0,77	0,67	0,58
60	1,0	0,91	0,80	0,72	0,64
50	1,0	0,97	0,88	0,80	0,72

Из табл. 4 видно, что для изотропного детектора при изменении  $l$  от 0 до  $2 \text{ г}/\text{см}^2$   $\xi_0 = 0,32$  (ослабление в 3,1 раза), а для  $\theta = 70^\circ$  соответствующее значение  $\xi_0 = 0,78$  (ослабление в 1,3 раза), т. е. влияние микрорельефа на интенсивность нерассеянных  $\gamma$ -квантов в случае регистрации направленным детектором ( $\theta = 70^\circ$ ) примерно в 2,5 раза слабее, чем при регистрации  $\gamma$ -излучения изотропным детектором. Дальнейшее уменьшение угла  $\theta$  влечет еще большее снижение погрешности. Однако при этом падает чувствительность измерений и соответственно растут статистические ошибки. Поэтому оптимальный угол  $\theta_{\text{опт}}$  зависит также и от уровня существующего загрязнения местности. Способы нахождения оптимального угла  $\theta_{\text{опт}}$ , определяемого из требования минимума суммарной ошибки, обусловленной статистическими флуктуациями и колебаниями характера микрорельефа местности, рассмотрены в работах [1, 3]. Как показали расчеты и эксперименты по измерению глобального загрязнения местности  $\text{Cs}^{137}$ ,  $\theta_{\text{опт}}$  находится в пределах  $50-70^\circ$ .

По мере заглубления изотопа снижается влияние микрорельефа на интенсивность  $\gamma$ -излучения. Эксперименты подтвердили, что для продуктов старых глобальных выпадений ( $\beta =$

$= 0,5 \div 1,0 \text{ см}^2/\text{с}$ ) при  $h = 1 \text{ м}$  и  $\theta = 70^\circ$  влиянием микрорельефа можно пренебречь.

### Влияние условий измерений на регистрируемую интенсивность $\gamma$ -квантов

При наземных  $\gamma$ -спектральных измерениях трудно обеспечить постоянную высоту детектора в пунктах наблюдения. Это связано как с чисто инструментальными погрешностями измерения высоты, так и с неровностями почвы, в результате чего надо учитывать не высоту детектора в точке наблюдения, а некоторую среднюю высоту в зоне обзора детектора. В некоторых случаях, как показал опыт, суммарные погрешности определения высоты могут достигать 10 см. Другая группа ошибок связана с колебаниями в процессе съемки величины угла регистрации  $\theta$  (например, за счет смещения сцинтиляционного счетчика относительно коллиматора и т. д.). На рис. 2 приведены графики функций  $\frac{\partial \bar{J}_0(E_0, \bar{h}, \bar{\beta}, \theta)}{\bar{J}_0(E_0, \bar{h}, \bar{\beta}, \theta)}$  и  $\frac{\partial \bar{J}_0(E_0, \bar{h}, \bar{\beta}, \theta)}{\partial \theta}$ , вычисленные по соотношениям (6) и (7) для  $E_0 = 0,662 \text{ МэВ}$ ,  $h = 1 \text{ м}$ ,  $\frac{q_0}{\beta} = 1 \text{ квант}/\text{см}^2 \cdot \text{сек}$ ,  $\theta = 30 \div 90^\circ$ ,  $\beta = 0,5 \div 10 \text{ см}^2/\text{с}$ :

$$\frac{\partial \bar{J}_0(E_0, \bar{h}, \bar{\beta}, \theta)}{\partial \bar{h}} = -\frac{1}{2} \bar{\beta} e^{\bar{\beta} \bar{h}} \left\{ \varepsilon_1 [\bar{h}(1 + \bar{\beta})] - \varepsilon_1 \left[ \bar{h} \left( \bar{\beta} + \frac{1}{\cos \theta} \right) \right] \right\}; \quad (6)$$

$$\frac{\partial \bar{J}_0(E_0, \bar{h}, \bar{\beta}, \theta)}{\partial \theta} = \frac{1}{2} \bar{\beta} \frac{\sin \theta}{1 + \bar{\beta} \cos \theta} e^{-\bar{h}/\cos \theta}. \quad (7)$$

Из рис. 2 следует, что погрешность  $\alpha_2 = \frac{\partial \bar{J}_0(E_0, \bar{h}, \bar{\beta}, \theta)}{\bar{J}_0(E_0, \bar{h}, \bar{\beta}, \theta)} \Delta \bar{h}$  (где  $\Delta \bar{h}$  — абсолютное изменение высоты детектора над уровнем земли) для изотропного детектора существенно выше (и особенно для незаглубленных осколочных продуктов), чем для направленного. Величины  $\alpha_2(\theta)$  и  $\alpha_3(\theta) = \frac{\partial \bar{J}_0(E_0, \bar{h}, \bar{\beta}, \theta)}{\bar{J}_0(E_0, \bar{h}, \bar{\beta}, \theta)} \Delta \theta$  (где  $\Delta \theta$  — абсолютное изменение угла обзора детектора  $\theta$ ) практически не зависят от  $\beta$  [для  $\alpha_3(\theta)$  при  $\theta \leqslant 70^\circ$ ]. Ошибки  $\alpha_3(\theta)$  превосходят по величине значения  $\alpha_2(\theta)$ . Так, если для  $\theta = 70^\circ$  и  $\Delta \bar{h} = 0,001$  ( $\Delta h = 10 \text{ см}$ )  $\alpha_2(\theta) \approx 0,2\%$ , то при  $\Delta \theta = 1 \div 3^\circ$  (реально возможный случай) значение  $\alpha_3(\theta) = 5 \div 12\%$ .

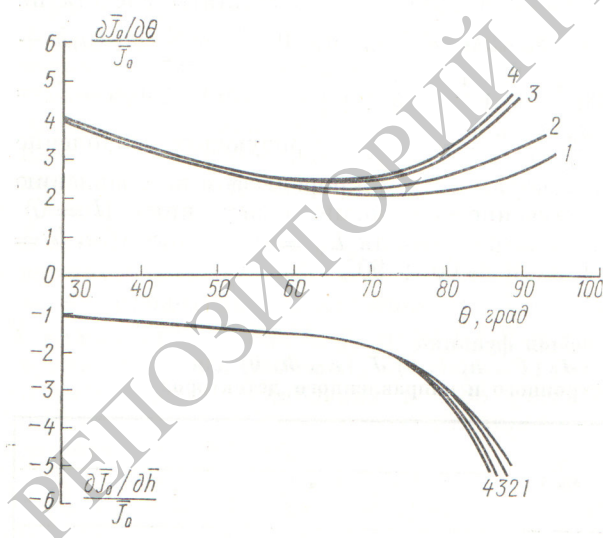


Рис. 2. Графики функций  $\frac{\partial \bar{J}_0(E_0, \bar{h}, \bar{\beta}, \theta)}{\bar{J}_0(E_0, \bar{h}, \bar{\beta}, \theta)}$  и  $\frac{\partial \bar{J}_0(E_0, \bar{h}, \bar{\beta}, \theta)}{\bar{J}_0(E_0, \bar{h}, \bar{\beta}, \theta)}$  для различных значений  $\theta$  и  $\beta$  ( $\bar{h}=0,01$ ,  $E_0=0,662 \text{ МэВ}$ ):

1 —  $\beta=0,5 \text{ см}^2/\text{с}$ ; 2 —  $\beta=1 \text{ см}^2/\text{с}$ ; 3 —  $\beta=5 \text{ см}^2/\text{с}$ ; 4 —  $\beta=10 \text{ см}^2/\text{с}$ .

## Опыт наземной $\gamma$ -спектральной съемки глобального загрязнения местности $Cs^{137}$

В течение нескольких последних лет методом наземной  $\gamma$ -спектрометрии изучалось глобальное загрязнение местности долгоживущим радиоизотопом  $Cs^{137}$ . Измерения выполнялись при помощи полевого 64-канального анализатора и детектора с кристаллом  $NaI(Tl)$   $100 \times 100 \text{ мм}$  [4], помещенным в стальной конический коллиматор с толщиной стенок  $5 \text{ см}$  и углом раствора  $2\theta = 140^\circ$ . В каждой точке измерений детектор с коллиматором устанавливался на треноге на высоте  $\sim 1 \text{ м}$  над поверхностью земли. Продолжительность одного измерения  $t$  составляла 9 мин. Как показали специально проведенные эксперименты по изучению изменения интенсивности  $\gamma$ -излучения  $Cs^{137}$  в интервале  $h$   $0$ — $5 \text{ м}$ , при  $h = 1 \text{ м}$  влияние микрорельефа минимально, а ослабление  $\gamma$ -излучения незначительно.

Пункты измерений размещались на целинных участках с ненарушенным распределением  $Cs^{137}$  по глубине почв. На каждом участке площадью в несколько сот квадратных метров запас  $Cs^{137}$  находили как среднее из измерений в двух-трех точках, отстоящих друг от друга на  $50$ — $100 \text{ м}$ . Типичная спектограмма, полученная в одной из точек наблюдения, представлена на рис. 3 (кривая 1). На спектограмме четко виднеется фотопик с энергией  $E_0 = 0,662 \text{ МэВ}$ , принадлежащий  $Cs^{137}$ , а также фотопики от естественных радиоактивных элементов — кальция ( $E_0 = 1,46 \text{ МэВ}$ ) и тория ( $E_0 = 2,62 \text{ МэВ}$ ).

Запас  $Cs^{137}$  ( $\text{мкюри}/\text{км}^2$ ) определялся из приборных спектrogramм по скорости счета в энергетической области  $0,60$ — $0,75 \text{ МэВ}$   $N_{Cs}$  (число импульсов за время  $t$ ) с последующим вычитанием вклада естественных радиоактивных элементов в этой области:

$$\sigma = b_{Cs} N_{Cs} - (b_K N_K + b_{Ra} N_{Ra} + b_{Th} N_{Th}), \quad (8)$$

$N_K$ ,  $N_{Ra}$ ,  $N_{Th}$  — скорости счета за экспоненцию  $t$  в «калиевой» ( $E = 1,39 \div 1,54 \text{ МэВ}$ ), «радиевой» ( $E = 1,66 \div 1,86 \text{ МэВ}$ ) и «ториевой» ( $E = 1,93 \div 3,0 \text{ МэВ}$ ) областях энергетического спектра. Коэффициенты  $b_i$  при отсчетах  $N_i$  получены в результате специальных калибровочных измерений на моделях полупространства, заполненных калием, ураном и торием соответственно [4]. Коэффициент при  $N_{Cs}$  вычислен из данных измерений на плоской модели  $Cs^{137}$ .

Погрешность определения запаса  $Cs^{137}$ , обусловленная статистикой радиоактивного распа-

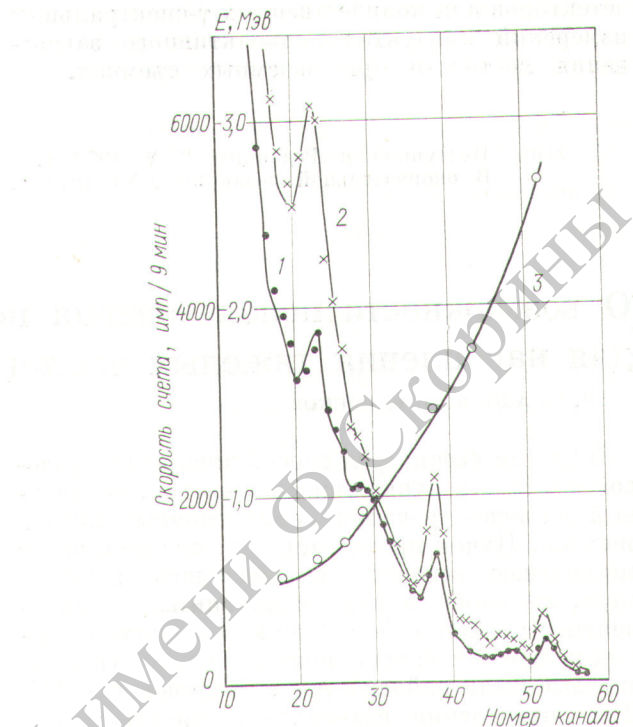


Рис. 3. Приборные спектrogramмы, полученные в одной и той же точке:

1—детектор с коническим коллиматором ( $\theta = 70^\circ$ );  
2—изотропный детектор; 3—энергетическая шкала [ $E = E(k)$ ,  $k$ —номер канала].

да для  $\sigma = 100 \text{ мкюри}/\text{км}^2$  и  $t = 9 \text{ мин}$ , оказалась равной  $\sim 5 \text{ мкюри}/\text{км}^2$ . Для сравнения укажем, что при отсутствии коллиматора статистическая погрешность составляет  $\sim 3 \text{ мкюри}/\text{км}^2$ . Приборный спектр, соответствующий условию измерений изотропным детектором, дан на рис. 3 (кривая 2).

Для оценки точности наземных  $\gamma$ -спектральных определений в пунктах измерений отбирались пробы почв, запас  $Cs^{137}$  в которых находили лабораторным  $\gamma$ -спектральным методом. В результате сопоставления измерений в 50 пунктах установлено, что расхождение между полевым и лабораторным методами анализа не превышает 15—20%.

Пространственные вариации запаса  $Cs^{137}$  по нескольким десяткам участков (каждый размером в сотни квадратных метров), расположенных в различных ландшафтных зонах, составили 10—15%.

Приведенные в настоящей статье расчетные и экспериментальные данные указывают на целесообразность использования направленных

детекторов для количественных  $\gamma$ -спектральных измерений продуктов радиоактивного загрязнения местности при наземных съемках.

Поступила в Редакцию 25/V 1970 г.  
В окончательной редакции 2/XI 1970 г.

## ЛИТЕРАТУРА

- Р. М. Коган и др. Основы  $\gamma$ -спектрометрии природных сред. М., Атомиздат, 1969.
- R. F. Gepen. Health Phys., 14, 331 (1968).
- Н. Д. Баласный и др. В сб. «Геофизическая аппаратура». Вып. 35. Л., «Недра», 1968, стр. 49.
- В. А. Воробьев и др. «Атомная энергия», 26, 555 (1969).

## О возможностях использования ионизационного трения для накопления тяжелых частиц

Ю. М. АДО, В. И. БАЛБЕКОВ

В работе рассмотрен способ повышения фазовой плотности пучка тяжелых частиц, основанный на использовании ионизационных потерь энергии. Пучок предлагается пропускать через тормозящее вещество с небольшим зарядом ядра, введенное в камеру накопителя. Декременты затухания бетатронных и синхротронных колебаний за счет «ионизационного трения» впервые были найдены А. А. Коломенским [1]. Для определения возможности практического использования этого явления в настоящей работе проведено более детальное исследование с учетом таких отрицательных факторов, как кулоновское рассеяние, статистические флуктуации ионизационных потерь, ядерные взаимодействия и эффекты перезарядки. В работе [2] утверждается, что эти процессы не позволяют использовать ионизационное трение для сжатия фазового объема. Однако оказывается, что при энергии в несколько мегаэлектронвольт можно создать условия, при которых ионизационное трение преобладает над конкурирующими процессами, и можно осуществить десятки импульсов инъекции частиц в постоянный фазовый объем за время, меньшее 0,1 сек. Накопитель такого типа может найти применение в ядерной физике.

**Декременты колебаний.** Рассмотрим накопитель протонов с камерой, заполненной веществом, плотность которого  $n$  зависит от обобщенного азимута  $\vartheta$  и радиальной координаты  $x$ . Ионизационные потери энергии, отнесенные к единице пути, равны [3]

$$F = \frac{dE_i}{dS} = 4\pi n r_e^2 E Z \left( \frac{1}{\beta^2} \ln \frac{2E_e \beta^2 \gamma^2}{IZ} - 1 \right), \quad (1)$$

где  $r_e = 2,82 \cdot 10^{-13}$  см и  $E_e = 0,511$  МэВ — классический радиус и энергия покоя электрона;  $\beta$  — отношение скорости протона к скорости

УДК 621.384.6

света  $c$ ;  $\gamma = (1 - \beta^2)^{-1/2}$ ;  $Z$  — атомный номер;  $IZ$  — средний потенциал ионизации атома, причем  $I \approx 13,5$  эв (для водорода  $I = 14,9$  эв). Эффект плотности здесь не учтен, так как тормозящее вещество считается достаточно разреженным.

Величина  $F$  совпадает с абсолютным значением силы ионизационного трения, поэтому уравнение вертикальных бетатронных колебаний приобретает вид

$$z'' + \frac{cF}{\omega \beta E} z' + g_z z = 0, \quad (2)$$

где  $\omega$  — угловая скорость;  $E$  — полная энергия протона;  $g_z$  — обычный коэффициент магнитной жесткости; штрих означает дифференцирование по  $\vartheta$ . Отсюда следует, что амплитуда колебаний затухает как  $e^{-\Gamma_z t}$  с декрементом

$$\Gamma_z = \left\langle \frac{cF}{2\beta E} \right\rangle. \quad (3)$$

Скобки  $\langle \dots \rangle$  означают усреднение по обороту. Для радиальных колебаний

$$x'' + \frac{cF}{\omega \beta E} x' + g_x x = K R_0^2 \frac{\varepsilon}{\beta^2}, \quad (4)$$

где  $K$  и  $R_0$  — локальная кривизна и средний радиус орбиты, а относительное отклонение энергии частицы от равновесного значения  $\varepsilon = \frac{\Delta E}{E}$  удовлетворяет уравнениям

$$\varepsilon' = \frac{eV}{2\pi E} (\cos \varphi - \cos \varphi_s) - \frac{1}{E} (E'_i - E'_{is}); \quad (5)$$

$$\varphi' = q \frac{\alpha \gamma^2 - 1}{\gamma^2 - 1} \varepsilon. \quad (6)$$

Здесь  $V$  — амплитуда ускоряющего напряжения;  $q$  — кратность;  $\alpha$  — коэффициент расширения орбит; индекс  $s$  относится к синхронной частице. Добавку, связанную с ионизационным